

---

# Calcul numérique intensif

Jocelyne Erhel - projet ALADIN -  
INRIA-RENNES

- Algèbre linéaire dense
- Modules de calcul dans des équations aux dérivées partielles
- Algèbre linéaire creuse
- Résolution de systèmes linéaires creux

Cours IRISA - Février 2001

---

# Algèbre linéaire dense

- opérations de base : BLAS
- exemple : multiplication de matrices
- algorithmes par blocs : LAPACK
- exemple : factorisation de Cholesky
- version parallèle de BLAS : PBLAS
- exemple : produit matrice-vecteur
- version parallèle de LAPACK : SCALAPACK
- bibliographie et logiciels

# Opérations de base : BLAS

---

Basic Algebraic Linear Subroutines (BLAS) : trois niveaux

- BLAS 1 : opérations entre vecteurs
- BLAS 2 : opérations entre matrices et vecteurs
- BLAS 3 : opérations entre matrices

Avantages

- portabilité
- performance : version constructeur
- lisibilité

<http://www.netlib.org/blas/index.html>

# BLAS 1

---

Opérations entre vecteurs de longueur  $n$

Nombre d'opérations en  $O(n)$  et nombre de données en  $O(n)$

Exemples: produit scalaire  $s = x^T y$ , SAXPY  $y = y + a * x$

## NOM

SAXPY - ajoute le résultat de la multiplication d'un scalaire par un vecteur à un autre vecteur ( $Y := Y + a * X$ ).

## SYNOPSIS

```
CALL SAXPY(n,sa,sx,incx,sy,incy)
```

## DESCRIPTION

n : longueur des vecteurs

sa : opérande scalaire

sx : vecteur opérande

incx : incrément sur les composantes de sx

sy : vecteur opérande et résultat

incy : incrément sur les composantes de sy

Opérations matrice-vecteur

Nombre d'opérations en  $O(n^2)$  et nombre de données en  $O(n^2)$

- produit matrice-vecteur  $y = \alpha Ax + \beta y$
- calcul sur matrices triangulaires
- résolution de systèmes triangulaires
- correction de rang 1 (produit extérieur)  $A = A + \alpha uv^T$
- correction symétrique de rang 2  $A = A + \alpha(uv^T + vu^T)$

Opérations matrice-matrice

Nombre d'opérations en  $O(n^3)$  et nombre de données en  $O(n^2)$

Performance maximale

- produit de matrices  $C = A * B + \beta C$
- multiplications de matrices triangulaires
- résolution de systèmes triangulaires à plusieurs seconds membres

# Multiplication de matrices

---

Multiplication :  $C = C + A * B$

- A matrice  $n1 \times n2$
- B matrice  $n2 \times n3$
- C matrice  $n1 \times n3$

```
for i = 1:n1,  
  for j = 1:n3,  
    for k = 1:n2,  
      C(i,j) = C(i,j) + A(i,k)*B(k,j);  
    end;  
  end;  
end;
```

$n1 * n2 * n3$  opérations

# 6 multiplications de matrices

---

Trois boucles commutables  $\Rightarrow$  6 écritures

## 1 boucle interne : BLAS 1

$(i,j,k)$  ou  $(j,i,k)$  : produit scalaire ligne-colonne

$(i,k,j)$  ou  $(k,i,j)$  : saxpy sur des lignes

$(j,k,i)$  ou  $(k,j,i)$  : saxpy sur des colonnes

## 2 boucles internes : BLAS 2

$(i,j,k)$  ou  $(i,k,j)$  : produit ligne-matrice

$(j,i,k)$  ou  $(j,k,i)$  : produit matrice-colonne

$(k,i,j)$  ou  $(k,j,i)$  : correction de rang 1



# Analyse des lectures

---

cas  $n_1 = n_2 = n_3$  - version (i,j,k)  
si  $B$  dans le cache,  $O(n^2)$  lectures  
sinon  $O(n^3)$  lectures

Version par blocs pour utiliser le cache

# Multiplication par blocs

---

	m3	m3	m3		m2	m2	m3	m3	m3	
m1	C11	C12	C13	=	A11	A12	B11	B12	B13	m2
m1	C21	C22	C23		A21	A22	B21	B22	B23	m2

$n1 = k1 \times m1$ ,  $n2 = k2 \times m2$ ,  $n3 = k3 \times m3$   
version (ikj)

```
for i = 1:k1
for k = 1:k2,
for j = 1:k3,
    Cij = Cij + Aik x Bkj;
end;
```

# Analyse des lectures dans la version par blocs

---

un bloc  $A_{ik}$  dans la mémoire cache

$A_{ik}$  lu une fois -  $A$  lu une fois -  $n_1 n_2$  mots

$B_{kj}$  lu  $k_1$  fois -  $B$  lu  $k_1$  fois -  $k_1 n_2 n_3$  mots

$C_{ij}$  lu  $k_2$  fois -  $C$  lu  $k_2$  fois -  $k_2 n_1 n_3$  mots

$$\text{Total: } L = n_1 n_2 + k_1 n_2 n_3 + k_2 n_1 n_3 = n_1 n_2 + n_1 n_2 n_3 \left( \frac{1}{m_1} + \frac{1}{m_2} \right).$$

# Taille optimale des blocs

---

Mémoire cache de  $M + 1$  bloc mots :  $m_1 m_2 \leq M$

Stratégie optimale :  $m_1 m_2 = \min(M, n_1 n_2)$

**Si**  $n_1 n_2 \leq M$ : alors  $m_1 = n_1$  et  $m_2 = n_2$

**sinon si**  $n_1 \leq \sqrt{M}$  **et**  $n_2 > \sqrt{M}$ : alors  $m_1 = n_1$  et  $m_2 = \frac{M}{m_1}$

**sinon si**  $n_2 \leq \sqrt{M}$  **et**  $n_1 > \sqrt{M}$ : alors  $m_2 = n_2$  et  $m_1 = \frac{M}{m_2}$

**sinon** :  $m_1 = m_2 = \sqrt{M}$

version BLAS optimisée pour chaque architecture

## Résolution de problèmes d'algèbre linéaire

- Systèmes linéaires
- Problèmes linéaires aux moindres carrés
- Problèmes aux valeurs propres
- Problèmes aux valeurs singulières
- Estimation de conditionnement

Sur des matrices pleines ou bandes

## Versions par blocs

**BLAS3 le plus souvent possible**  
sinon BLAS2 et BLAS1

<http://www.netlib.org/lapack/>

# Factorisation de Cholesky

---

$A \in \mathbb{R}^{n \times n}$  matrice symétrique  $A^T = A$  définie positive  $\forall x \neq 0, x^T A x > 0$

Factorisation de Cholesky  $A = LL^T$  et  $\text{diag}(L) > 0$

version récursive

$$A = \begin{pmatrix} \alpha & a^T \\ a & A_1 \end{pmatrix} \quad L = \begin{pmatrix} \lambda & 0 \\ l & L_1 \end{pmatrix}$$

$$\begin{cases} \lambda = \sqrt{\alpha} \\ l = (1/\lambda)a \\ L_1 L_1^T = A_1 - l l^T \end{cases}$$

3 niveaux : 6 manières de dérouler la récursion

---

# Cholesky : Right Looking ou Fan-out ou jki

```
L := triangle_inférieur(A);
for j = 1,n,
  L(j,j) = √L(j,j);
  for i = j + 1,n
    L(i,j) := L(i,j)/L(j,j);
  end;
  for k = j + 1,n
    for i = k,n
      L(i,k) := L(i,k) - L(i,j) * L(k,j);
    end;
  end;
end
```

BLAS2 et BLAS1

# Cholesky : Left Looking ou Fan-in ou kji

---

```
 $L := \text{triangle\_inférieur}(A);$   
for  $k = 1, n,$   
    for  $j = 1, k - 1$   
        for  $i = k, n$   
             $L(i, k) := L(i, k) - L(i, j) * L(k, j);$   
        end;  
    end;  
     $L(k, k) := \sqrt{L(k, k)};$   
    for  $i = k + 1, n$   
         $L(i, k) = L(i, k) / L(k, k);$   
    end
```

BLAS2 et BLAS1



# Cholesky par blocs - Fan-in

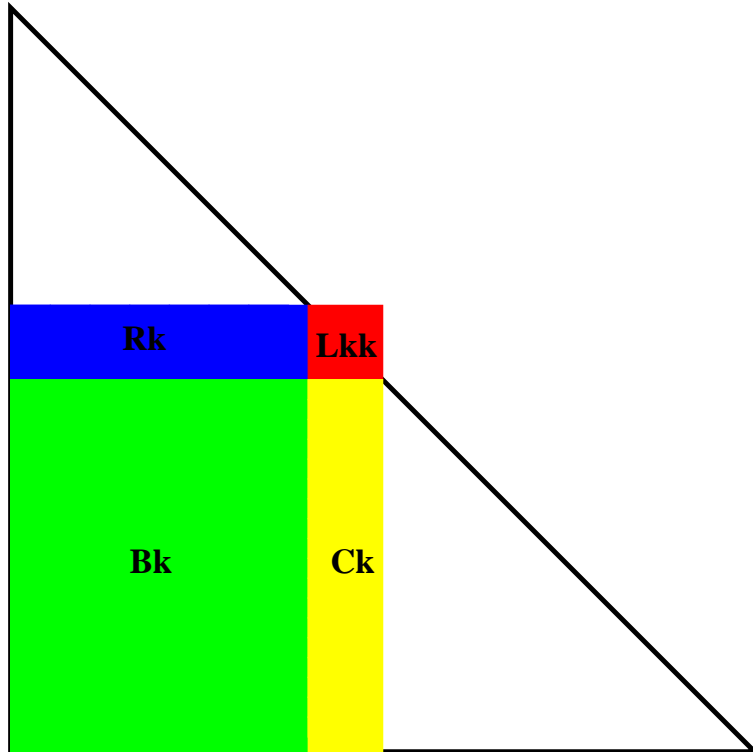
---

```
 $L = \text{triangle\_inférieur}(A);$   
for  $k = 1, \text{nblocs},$   
    for  $j = 1, k - 1$   
        for  $i = k, \text{nblocs}$   
             $L(i, k) = L(i, k) - L(i, j) * L(k, j)^T;$   
        end;  
    end;  
     $L(k, k) = \text{chol}(L(k, k));$   
    for  $i = k + 1, \text{nblocs}$   
         $L(i, k) = L(i, k) * L(k, k)^{-T};$   
    end
```

BLAS3 et BLAS2

# Cholesky par blocs - Fan-in

---



```
L = triangle_inférieur(A);  
for k = 1,nblocs,  
    Lkk = Lkk - Rk * RkT ;  
    Lkk = chol(Lkk) ;  
    Ck = Ck - Bk * RkT ;  
    Ck = Ck * Lkk-T ;  
end
```

# Parallel BLAS

---

## Mémoire partagée

version parallèle de BLAS

## Mémoire distribuée

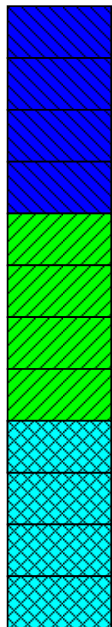
**PBLAS** : Version distribuée de BLAS avec  
distribution des vecteurs et des matrices  
communications par la bibliothèque **BLACS**

# Distribution de vecteurs

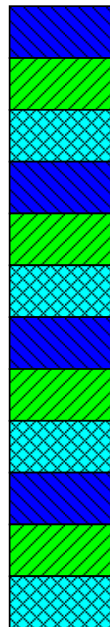
---

P processus répartis sur une colonne - Vecteur de longueur N

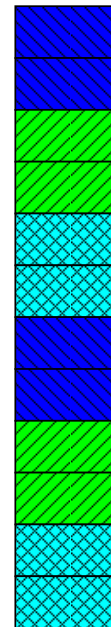
par blocs



cyclique



bloc-cyclique



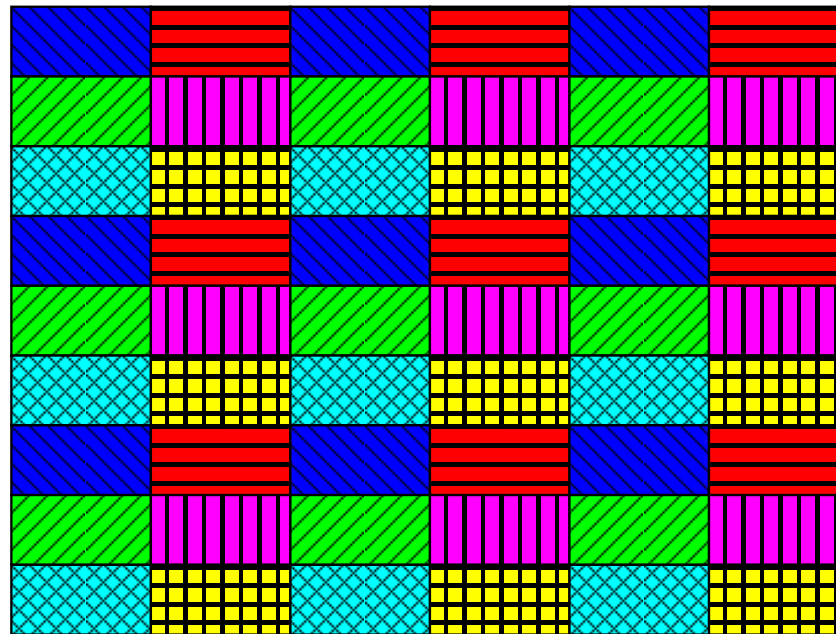
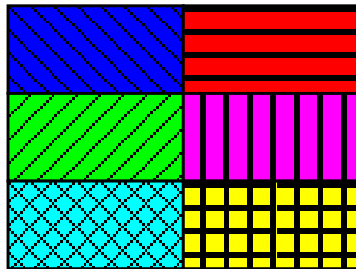
paramètre d'optimisation : taille des blocs r

# Distribution de matrices

---

distribution bloc-cyclique - Matrice de taille  $M \times N$

grille de  $P = P_r \times P_c$   
 $P_c$  processus



paramètres d'optimisation :  
tailles des blocs  $r \times c$  et de la grille  $P_r \times P_c$

# produit matrice-vecteur $y = A \times x$

---

partition par blocs de taille  $r \times c$  avec  $M = rM_r, N = cN_c$

$$Y_i = \sum_{j=1}^{N_c} A_{ij} X_j, \quad i = 1, M_r$$

Grille de  $P = P_r \times P_c$  processus

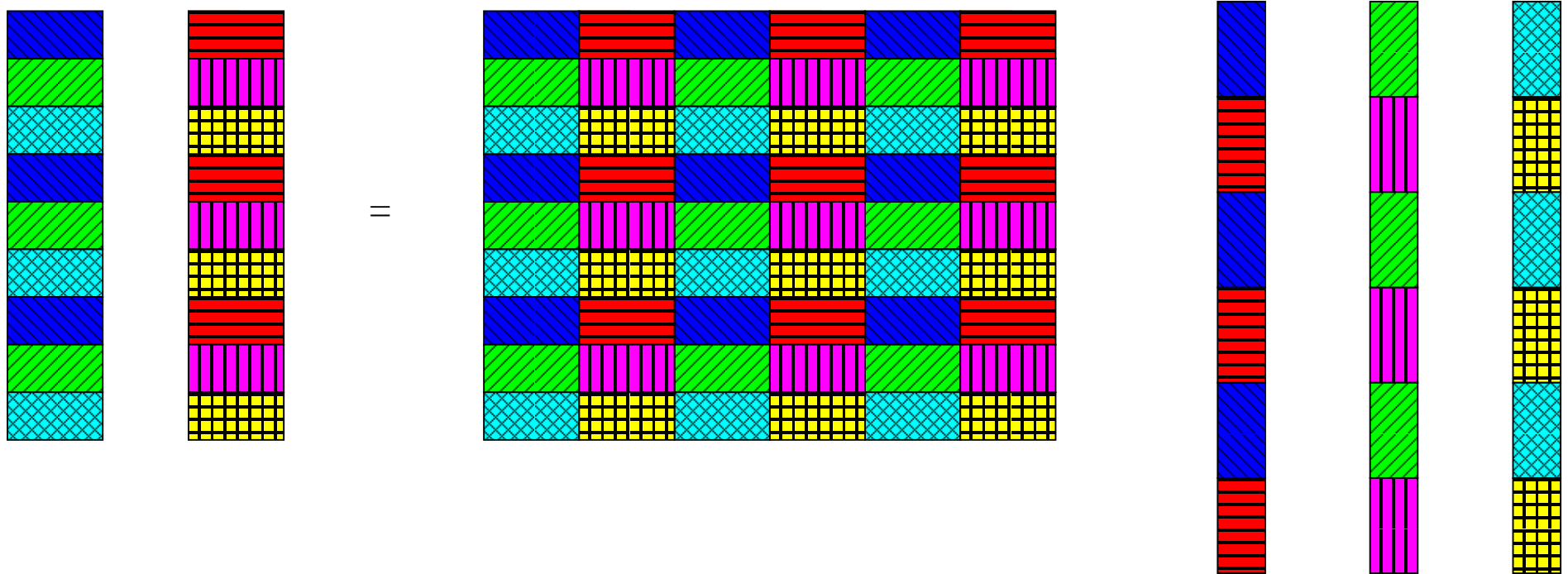
Distribution bloc-cyclique de  $A$

Distribution bloc-cyclique de  $X$  sur chacune des lignes de la grille

Distribution bloc-cyclique de  $Y$  sur chacune des colonnes de la grille

# Version distribuée

---



# Algorithme de chaque processus

---

Processus  $(p,q)$

si  $p > 1$  alors

recevoir  $X_j$ ,  $j = q \bmod P_c$

sinon

diffuser  $X_j$ ,  $j = q \bmod P_c$  à  $\{(p,q), p > 1\}$

finsi

calculer  $Y_{iq} = \sum_{j=q \bmod P_c} A_{ij} X_j$ ,  $i = p \bmod P_r$

si  $q > 1$  alors

envoyer  $Y_{iq}$  à  $(p,1)$

sinon

recevoir  $\{Y_{iq}, q > 1\}$  de  $\{(p,q), q > 1\}$

$Y_i = \sum_{q=1}^{P_c} Y_{iq}$

finsi



# Volume de calcul et de communications

---

Calcul :  $O(MN/P)$  : équilibré

Communications :  $O(NP_r/P_c + MP_c/P_r)$

$M = N$  : minimiser  $P_r/P_c + P_c/P_r$  avec  $P_cP_r = P$

$M = N$  : communications minimales si  $P_r = P_c = \sqrt{P}$

## Bibliographie

- Lapack Working Notes et Lapack user's guide
- G. Golub and C. van Loan, Matrix Computations, John Hopkins University Press, 3rd edition, 1996

## Logiciels

- BLAS : <http://www.netlib.org/blas/index.html>
- LAPACK : <http://www.netlib.org/lapack/>
- MATLAB :
- SCILAB :
- BLACS : <http://www.netlib.org/blacs/index.html>
- PBLAS : [http://www.netlib.org/scalapack/html/pblas\\_qref.html](http://www.netlib.org/scalapack/html/pblas_qref.html)
- SCALAPACK : [http://www.netlib.org/scalapack/scalapack\\_home.html](http://www.netlib.org/scalapack/scalapack_home.html)

---

# Modules de calcul dans des équations aux dérivées partielles

- Un exemple : l'équation de la chaleur
- Discrétisation des EDP
- Résolution de systèmes non linéaires
- Evaluation de fonctions non linéaires

# Équation de la chaleur - discrétisation en espace

---

## Modèle continu

$$\begin{cases} \frac{\partial u}{\partial t} + a \frac{\partial^2 u}{\partial x^2} + b \frac{\partial^2 u}{\partial y^2} = f & \text{dans } \Omega \times [0, T], \\ u = g & \text{sur } \Gamma, \\ u(0, x, y) = u_0(x, y) & \text{dans } \Omega. \end{cases}$$

## Discrétisation en espace

Différences finies sur une grille régulière de pas  $h$

$$\frac{\partial^2 u}{\partial x^2}(x_i, y_i) \simeq \frac{u(x_{i+1}, y_i) + u(x_{i-1}, y_i) - 2u(x_i, y_i)}{h^2}$$

# Équation de la chaleur - équation discrétisée

---

Systeme d'équations différentielles ordinaires (EDO)

$$\begin{cases} \frac{dU}{dt} - AU = F, \\ U(0) = U_0. \end{cases}$$

*A* matrice creuse à structure régulière liée au maillage

# Équation de la chaleur - discrétisation en temps

---

Schéma en temps explicite - Par exemple, Euler

$$\begin{cases} \frac{U_{n+1}-U_n}{dt} - AU_n = F_n, \\ U_{n+1} = (I + dtA)U_n + dtF_n \end{cases}$$

Produit matrice creuse par vecteur

Schéma en temps implicite - Par exemple, Euler

$$\begin{cases} \frac{U_{n+1}-U_n}{dt} - AU_{n+1} = F_n, \\ (I - dtA)U_{n+1} = U_n + dtF_n \end{cases}$$

Résolution de système linéaire creux

# Equations aux dérivées partielles (EDP)

---

## Modèle continu

$$\begin{cases} \frac{\partial u}{\partial t} + \phi(u) = f & \text{dans } \Omega \times [0, T], \\ \text{conditions aux limites sur } \Gamma, \\ u(0) = u_0 & \text{dans } \Omega. \end{cases}$$

## Discrétisation en espace

Eléments finis, volumes finis, etc sur un maillage quelconque

## Système d'équations différentielles ordinaires (EDO)

$$\begin{cases} \frac{dU}{dt} + \Phi(U) = F, \\ U(0) = U_0. \end{cases}$$

$\Phi$  fonction non linéaire à structure liée au maillage

# EDP - discrétisation en temps

---

Schéma en temps explicite - Par exemple, Euler

$$\begin{cases} \frac{U_{n+1}-U_n}{dt} + \Phi(U_n) = F_n, \\ U_{n+1} = U_n + dt\Phi(U_n) + dtF_n \end{cases}$$

Evaluation d'une fonction non linéaire

Schéma en temps implicite - Par exemple, Euler

$$\begin{cases} \frac{U_{n+1}-U_n}{dt} + \Phi(U_{n+1}) = F_n, \\ U_{n+1} + dt\Phi(U_{n+1}) = U_n + dtF_n \end{cases}$$

Résolution de système non linéaire



# Résolution de système non linéaire

---

$$\Phi(U) = 0$$

Méthode de Newton

$$J(U_k)(U_{k+1} - U_k) = -\Phi(U_k)$$

$J(U_k)$  Jacobien du système

Evaluation de fonction non linéaire

Evaluation de matrice creuse

Résolution de système linéaire creux

# Evaluation d'une fonction non linéaire

---

## calcul explicite

pas de dépendances en lecture-écriture

seulement des dépendances en lecture : graphe et matrice associée

## graphe non connecté

exemple : calcul vectoriel

distribution comme en algèbre linéaire dense

## graphe d'un maillage

exemple : schéma en temps explicite et discrétisation en espace

distribution comme en algèbre linéaire creuse

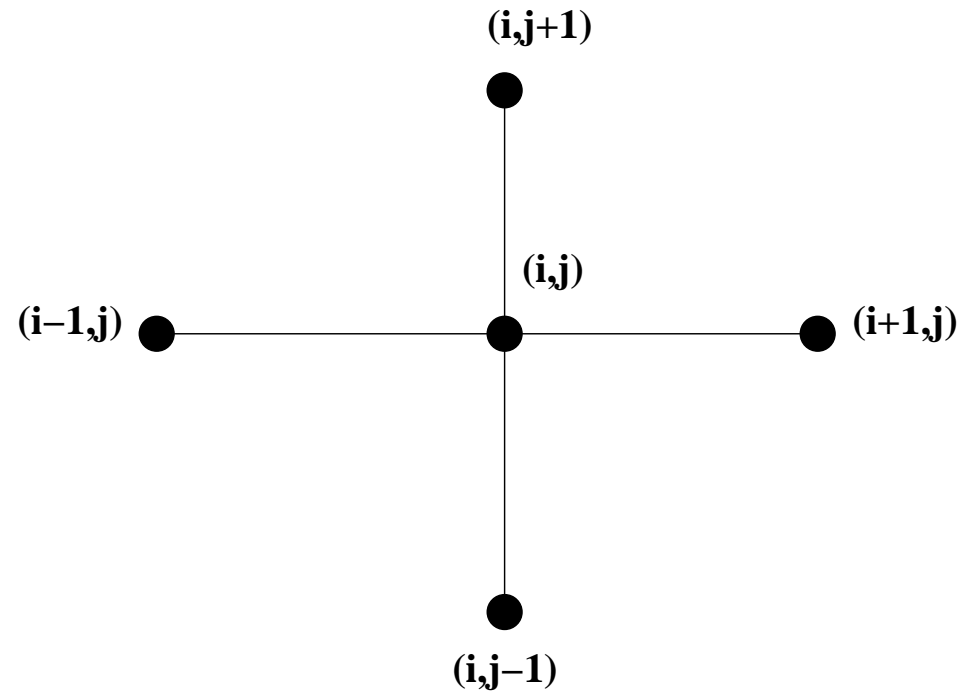
---

# Algèbre linéaire creuse

- produit matrice creuse par vecteur - cas structuré
- stockage de matrices creuses non structurées
- produit matrice creuse par vecteur - cas non structuré
- bibliographie et logiciels

# Produit matrice creuse par vecteur - cas structuré

---

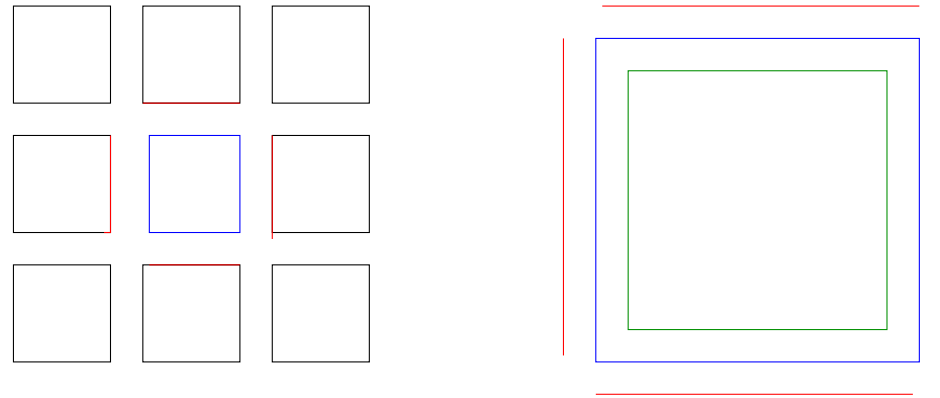


Différences finies à 5 points

$$v_{ij} = 4u_{ij} - u_{i-1j} - u_{i+1j} - u_{ij-1} - u_{ij+1}$$

# Distribution par sous-domaines

---



Un sous-domaine

Points internes

Points frontières

Les sous-domaines

voisins

Points  
voisins

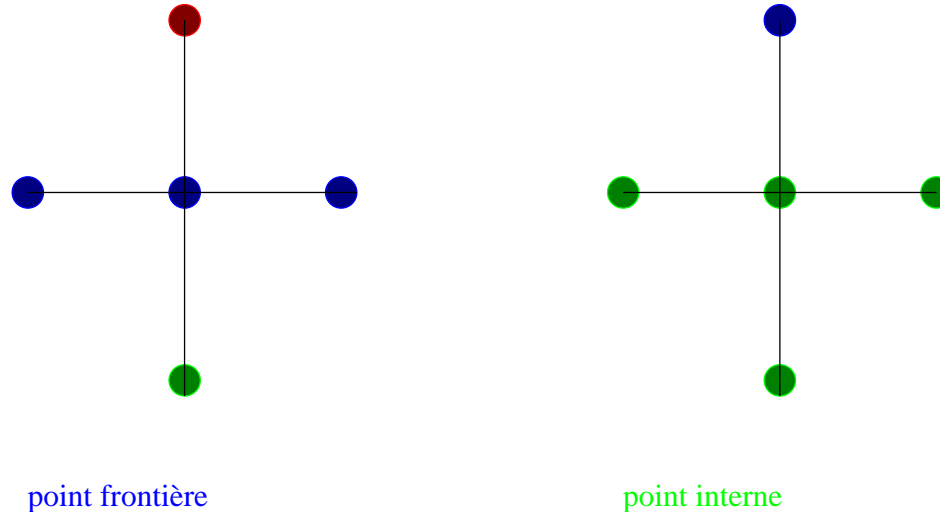
externes

Parallélisme à l'intérieur des sous-domaines

Communications aux frontières des sous-domaines

# Calcul sur chaque sous-domaine

---



## Algorithme pour chaque sous-domaine

Pour chaque voisin, **Faire**

**Recevoir** les points externes voisins

Calculer les points frontières

**Envoyer** les points frontières

**Fait**

Calculer les points internes

Recouvrement des calculs par les communications

# Volumes de calcul et de communications

---

Volume de calcul =  $O(\text{nombre de points}) = O(\text{volume})$

Volume de communications =  $O(\text{nombre de points frontières}) = O(\text{surface})$

Équilibrer les volumes des sous-domaines

Minimiser les surfaces des frontières

# Partition et allocation

---

Allocation homogène de  $p$  sous-domaines sur  $p$  processeurs

Rectangle de  $m \times n$  points et  $p$  sous-domaines

Partition simple en sous-rectangles  $m/k_1 \times n/k_2$

Volume d'un sous-rectangle =  $mn/k_1k_2$

Surface d'un sous-rectangle =  $m/k_1 + n/k_2$

## Optimisation

Équilibrer les volumes :  $mn/k_1k_2 = mn/p \Leftrightarrow k_1k_2 = p$

Minimiser les surface :  $\min_{k_1} (m/k_1 + nk_1/p)$

Solution :  $k_1 = \sqrt{mp/n}$ ,  $k_2 = \sqrt{np/m}$

Domaine carré de côté  $n$  : sous-domaine carré de côté  $n/\sqrt{p}$



# Code de calcul d'un processeur

---

## Données

taille du domaine complet  $M, N$

position du coin inférieur gauche  $(ic, jc)$

points :  $(1 : I, 1 : J)$

points internes :  $(2 : I - 1, 2 : J - 1)$

points frontière :  $(1 : I, 1), (1 : I, J), (1, 1 : J), (I, 1 : J)$

points externes :  $sud(1 : I), nord(1 : I), ouest(1 : J), est(1 : J)$

## Code exécutable

Si  $ic > 1$  alors

Recevoir  $ouest(1 : J)$

Calculer  $u(1, 1 : J)$

Envoyer  $u(1 : J)$

Finsi

...Même chose pour les 3 autres frontières

Calculer les points internes  $u(2 : I - 1, 2 : J - 1)$

# Produit matrice creuse par vecteur - cas non structuré

---

différents stockages  
produit matvec CSR  
produit matvec parallèle

---

# Résolution de système linéaire creux

- Méthodes directes
- Méthodes itératives classiques
- Méthodes itératives de Krylov
- Méthodes multigrilles
- Méthodes de sous-domaines (semi-directes)

## Factorisation de Cholesky

remplissage

renumérotation

factorisation symbolique

## Factorisation de Gauss

critère de stabilité

## Versions parallèles

multifrontale

# Méthodes itératives classiques

---

décomposition  $A = M - N$

Jacobi

convergence très très lente

Gauss-Seidel

convergence très lente

SSOR

cas symétrique défini positif

Versions par blocs

souvent plus performant

# Méthodes itératives de Krylov

---

- Cas symétrique défini positif
- Cas symétrique indéfini
- Cas non symétrique
- Préconditionnements

# $A$ symétrique définie positive

---

Une méthode de choix : Gradient Conjugué (CG)

- algorithme
- propriétés
- convergence
- préconditionnement

## Algorithme

### Initialisation

choix de  $x_0$

$$p_0 = r_0 = b - Ax_0$$

**Pour**  $k = 0, 1 \dots$

$$\alpha_k = \frac{\|r_k\|^2}{(Ap_k, p_k)}$$

$$x_{k+1} = x_k + \alpha_k p_k$$

$$r_{k+1} = r_k - \alpha_k Ap_k$$

$$\beta_{k+1} = \frac{\|r_{k+1}\|^2}{\|r_k\|^2}$$

$$p_{k+1} = r_{k+1} + \beta_{k+1} p_k$$

**Fin Pour**

## Propriétés

$$(r_{k+1}, p_k) = 0$$

$$(r_{k+1}, r_k) = 0$$

$$(p_{k+1}, Ap_k) = 0$$

$$\|r_{k+1}\|_{A^{-1}} = \min_{\alpha} \|r_k - \alpha Ap_{k-1}\|_{A^{-1}}$$



# Gradient Conjugué - propriétés

---

## Propriétés d'orthogonalité et de minimisation

$$(r_k, p_i) = (r_k, r_i) = 0, \quad i \leq k - 1$$

$$(p_k, Ap_i) = 0, \quad i \leq k - 1$$

$$\|r_{k+1}\|_{A^{-1}} \leq \|r_k\|_{A^{-1}}$$

$$\|r_k\|_{A^{-1}} = \min_{x \in x_0 + \text{Span}(p_0, \dots, p_{k-1})} \|b - Ax\|_{A^{-1}}$$

## Méthode de Krylov

$$\mathcal{K}_k(A, r_0) = \text{Span}(r_0, Ar_0, \dots, A^{k-1}r_0) \quad \text{Espace de Krylov}$$

$$\mathcal{K}_k(A, r_0) = \text{Span}(r_0, r_1, \dots, r_{k-1}) = \text{Span}(p_0, p_1, \dots, p_{k-1})$$

## Méthode de projection

$$x_k \in x_0 + \mathcal{K}_k(A, r_0) \quad \text{Condition d'espace}$$

$$r_k \perp \mathcal{K}_k(A, r_0) \quad \text{Condition de Galerkin}$$

# Gradient Conjugué - convergence

---

## Méthode polynomiale

$$\begin{aligned}x_k &= x_0 + Q_{k-1}(A)r_0 \\r_k &= (I - AQ_{k-1}(A))r_0 = P_k(A)r_0 \text{ avec } P_k(0) = 1\end{aligned}$$

## Propriété minmax - Convergence asymptotique

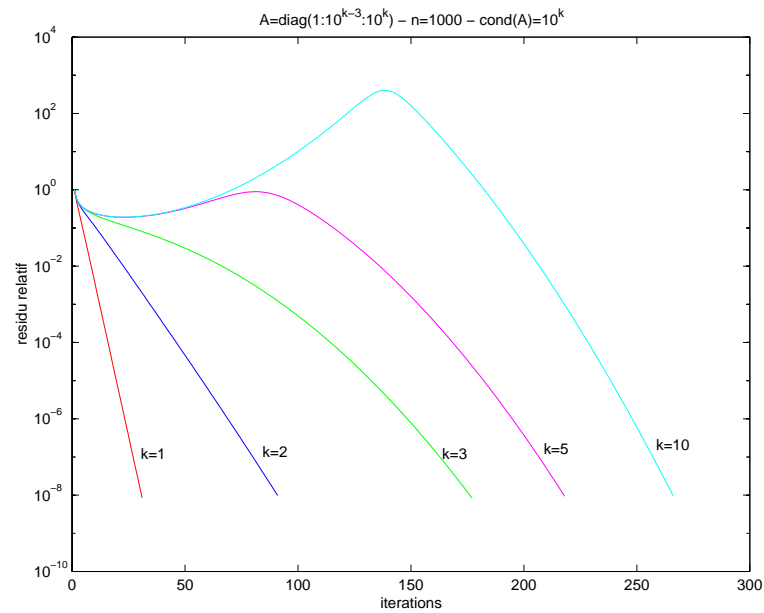
$$\begin{aligned}A &= V\Delta V^{-1} \text{ avec } \Delta = \text{diag}(\lambda_1, \dots, \lambda_n) \\0 < \lambda_1 \leq \dots \leq \lambda_n \text{ et } \kappa(A) &= \lambda_n/\lambda_1\end{aligned}$$

$$\begin{aligned}\|r_k\|_{A^{-1}} &\leq \|r_0\|_{A^{-1}} \max_{\{\lambda_j\}} |P_k(\lambda_j)| \\&\leq \|r_0\|_{A^{-1}} \min_{\{P/\deg(P)=k, P(0)=1\}} \max_{\lambda_1 \leq t \leq \lambda_n} |P(t)|\end{aligned}$$

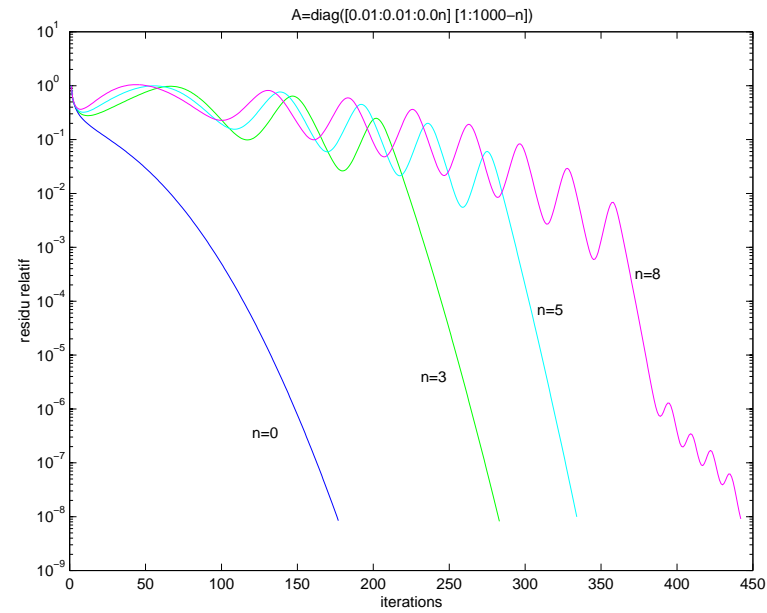
$$\|r_k\|_{A^{-1}} \leq 2\|r_0\|_{A^{-1}} \left( \frac{\sqrt{\kappa(A)}-1}{\sqrt{\kappa(A)}+1} \right)^k$$

# Gradient Conjugué - exemples

## Convergence asymptotique



## Convergence superlinéaire



# Gradient Conjugué Préconditionné

---

Préconditionnement  $M$  symétrique défini positif

## Algorithme Initialisation

choix de  $x_0$

$$r_0 = b - Ax_0$$

$$z_0 = M^{-1}r_0$$

$$p_0 = z_0$$

**Pour**  $k = 0, 1 \dots$

$$\alpha_k = \frac{(r_k, z_k)}{(Ap_k, p_k)}$$

$$x_{k+1} = x_k + \alpha_k p_k$$

$$r_{k+1} = r_k - \alpha_k Ap_k$$

$$z_{k+1} = M^{-1}r_{k+1}$$

$$\beta_{k+1} = \frac{(r_{k+1}, z_{k+1})}{(r_k, z_k)}$$

$$p_{k+1} = z_{k+1} + \beta_{k+1} p_k$$

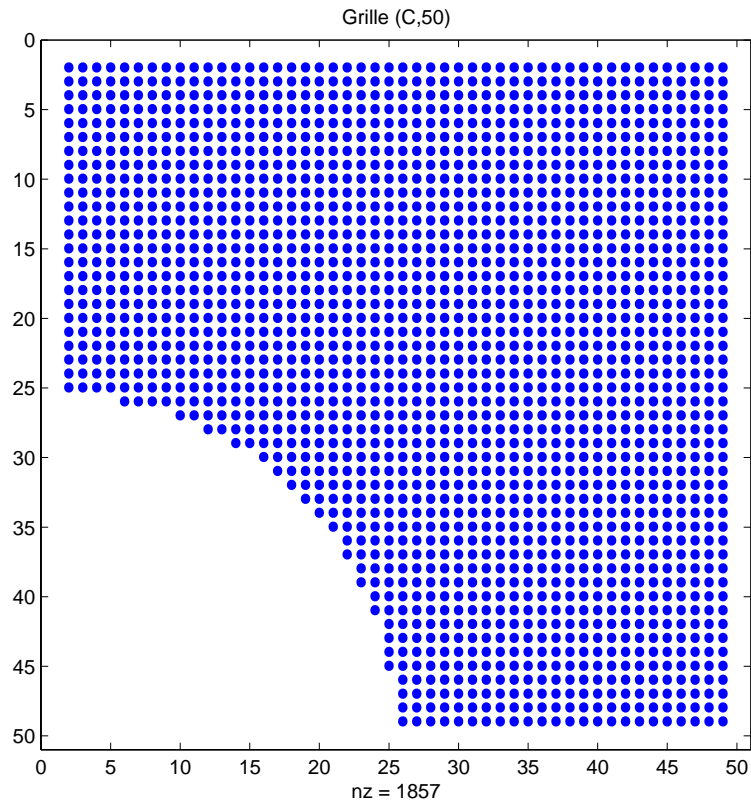
**Fin Pour**

## Exemples

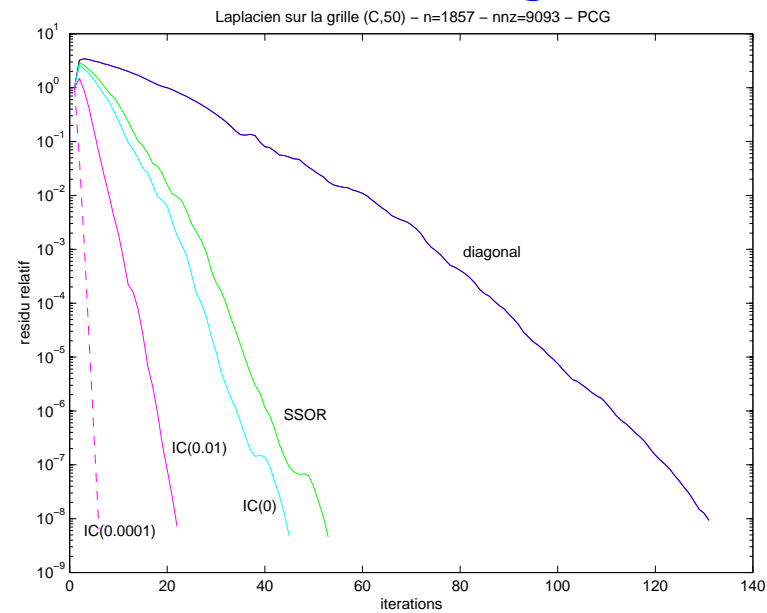
- diagonal
- SSOR
- polynomial
- IC(k)
- IC(drop)
- inverse approché
- m-step SSOR
- multigrille
- multi-niveau
- etc

# Gradient Conjugué Préconditionné- exemples

## Grille de différences finies



## Courbes de convergence



# Gradient Conjugué Préconditionné - dépendances

---

## Algorithme

**Pour**  $k = 0, 1 \dots$

$$q_k = Ap_k$$

$$\alpha_k = \frac{(r_k, z_k)}{(q_k, p_k)}$$

$$x_{k+1} = x_k + \alpha_k p_k$$

$$r_{k+1} = r_k - \alpha_k Ap_k$$

$$z_{k+1} = M^{-1} r_{k+1}$$

$$\beta_{k+1} = \frac{(r_{k+1}, z_{k+1})}{(r_k, z_k)}$$

$$p_{k+1} = z_{k+1} + \beta_{k+1} p_k$$

**Fin Pour**

## Opérations

produit matrice vecteur

produit scalaire

opération vectorielle

opération vectorielle

système linéaire

produit scalaire

opération vectorielle

Enchaînement séquentiel d'opérations vectorielles et matricielles

# Lanczos symétrique

---

## Procédé de Lanczos symétrique

$$\text{Span}(V_k) = \mathcal{K}_k(A, v_1)$$
$$V_k^T V_k = I$$

Base de l'espace de Krylov  
Système orthonormé

$$AV_k = V_k T_k + \delta_{k+1} v_{k+1} e_k^T \quad T_k = \begin{pmatrix} \gamma_1 & \delta_2 & & \\ \delta_2 & \gamma_2 & \cdots & \\ & \cdots & \cdots & \delta_k \\ & & \delta_k & \gamma_k \end{pmatrix}$$

## Lien avec Gradient Conjugué

$$r_0 = \|r_0\|_2 v_1 = \beta v_1$$

$$x_k = x_0 + V_k y \quad y \in \mathbb{R}^k$$

$$r_k = r_0 - AV_k y = V_k(\beta e_1 - T_k y) - \delta_{k+1}(e_k^T y)v_{k+1}$$

$$V_k^T r_k = 0 \Leftrightarrow T_k y = \beta e_1$$

Espace de Krylov

Condition d'espace

Condition de Galerkin

Gradient Conjugué : Factorisation de Cholesky de  $T_k$   
et propriété de minimisation de  $\|r_k\|_{A^{-1}}$

# *A* symétrique indéfinie

---

SYMMLQ, MINRES

Lanczos symétrique avec moindres carrés



# A non symétrique

---

Cela se complique ...

Pas possible d'avoir à la fois  
une récurrence courte et  
une minimisation de la norme du résidu

- Récurrence courte : Gradient Bi-Conjugué, QMR, etc
- Minimisation : GMRES
- Préconditionnement

## Algorithme

### Initialisation

choix de  $x_0$  et  $\tilde{x}_0$

$$r_0 = b - Ax_0 \text{ et } \tilde{r}_0 = b - A^T \tilde{x}_0$$

$$p_0 = r_0 \text{ et } \tilde{p}_0 = \tilde{r}_0$$

**Pour**  $k = 0, 1 \dots$

$$\alpha_k = \frac{(r_k, \tilde{r}_k)}{(Ap_k, \tilde{p}_k)}$$

$$x_{k+1} = x_k + \alpha_k p_k$$

$$\tilde{x}_{k+1} = \tilde{x}_k + \alpha_k \tilde{p}_k$$

$$r_{k+1} = r_k - \alpha_k Ap_k$$

$$\tilde{r}_{k+1} = \tilde{r}_k - \alpha_k A^T \tilde{p}_k$$

$$\beta_{k+1} = \frac{(r_{k+1}, \tilde{r}_{k+1})}{(r_k, \tilde{r}_k)}$$

$$p_{k+1} = r_{k+1} + \beta_{k+1} p_k$$

$$\tilde{p}_{k+1} = \tilde{r}_{k+1} + \beta_{k+1} \tilde{p}_k$$

**Fin Pour**

# Gradient Bi-Conjugué - propriétés

---

## Propriétés d'orthogonalité

$$(r_k, \tilde{r}_i) = 0, \quad i \leq k - 1$$
$$(\tilde{p}_k, Ap_i) = 0, \quad i \leq k - 1$$

pas de propriété de minimisation

## Méthode de Krylov

$$\mathcal{K}_k(A, r_0) = \text{Span}(r_0, Ar_0, \dots, A^{k-1}r_0) \quad \text{Espace de Krylov associé à } A$$
$$\mathcal{K}_k(A^T, \tilde{r}_0) = \text{Span}(\tilde{r}_0, A^T r_0, \dots, (A^T)^{k-1} \tilde{r}_0) \quad \text{Espace de Krylov associé à } A^T$$

## Méthode de projection

$$x_k \in x_0 + \mathcal{K}_k(A, r_0) \quad \text{Condition d'espace}$$
$$r_k \perp \mathcal{K}_k(A^T, \tilde{r}_0) \quad \text{Condition de Galerkin}$$

# Lanczos non symétrique

---

## Procédé de Lanczos non symétrique

$$\text{Span}(V_k) = \mathcal{K}_k(A, v_1)$$

$$\text{Span}(W_k) = \mathcal{K}_k(A^T, w_1)$$

$$W_k^T V_k = I$$

Base de l'espace de Krylov

Base de l'espace de Krylov dual

Système bi-orthogonal

$$AV_k = V_k T_k + \delta_{k+1} v_{k+1} e_k^T$$

$$T_k = \begin{pmatrix} \gamma_1 & \eta_2 & & \\ \delta_2 & \gamma_2 & \cdots & \\ & \cdots & \cdots & \eta_k \\ & & \delta_k & \gamma_k \end{pmatrix}$$

$$A^T W_k = W_k T_k^T + \eta_{k+1} w_{k+1} e_k^T$$

## Lien avec Gradient Bi-Conjugué

$$r_0 = \|r_0\|_2 v_1 = \beta v_1$$

$$x_k = x_0 + V_k y \quad y \in \mathbb{R}^k$$

$$r_k = r_0 - AV_k y = V_k (\beta e_1 - T_k y) - \delta_{k+1} (e_k^T y) v_{k+1}$$

$$W_k^T r_k = 0 \Leftrightarrow T_k y = \beta e_1$$

Espace de Krylov

Condition d'espace

Condition de Galerkin

Gradient Bi-Conjugué : Factorisation de Gauss de  $T_k$

# BCG - Convergence - Variantes

---

risque de **Breakdown** dans Lanczos :  $(r_k, \tilde{r}_k) = 0$

Version de Lanczos avec **Look-Ahead**

Convergence **irrégulière**

Produit par  $A^T$  : version Transpose-Free **BICGSTAB**

Convergence plus régulière de BICGSTAB

risque de **Breakdown** dans  $LU$  :  $(\tilde{p}_k, Ap_k) = 0$

Algorithme **QMR**

# Résidu Quasi-minimum QMR

---

## Algorithme

Lanczos non symétrique avec look-ahead

$$r_k = V_{k+1}(\beta e_1 - \bar{T}_k y) \quad \bar{T}_k = \begin{pmatrix} T_k & \\ & \delta_{k+1} e_k^T \end{pmatrix}$$

$$\Omega_{k+1} = \text{diag}(\|v_1\|_2, \dots, \|v_{k+1}\|_2)$$

Résoudre  $\min_{y \in \mathbb{R}^k} \|\beta e_1 - \Omega_{k+1} \bar{T}_k y\|_2$

## Convergence

pas de breakdown

**SI**  $T_k$  est diagonalisable

$$\|r_k\|_2 \leq \|r_0\|_2 \sqrt{k+1} \kappa(T_k) \min_{\{P/\deg(P)=k, P(0)=1\}} \max_{1 \leq j \leq n} |P(\lambda_j)|$$

# QMR préconditionné - algorithme

---

version sans look-ahead

Enchaînement séquentiel d'opérations vectorielles et matricielles



## Procédé d'Arnoldi

$$\text{Span}(V_k) = \mathcal{K}_k(A, v_1)$$

$$V_k^T V_k = I$$

$$AV_k = V_k H_k + h_{k+1,k} v_{k+1} e_k^T$$

Base de l'espace de Krylov

Système orthonormé

$H_k$  matrice de Hessenberg

## Algorithme de GMRES

$$r_0 = \|r_0\|_2 v_1 = \beta v_1$$

$$x_k = x_0 + V_k y \quad y \in \mathbb{R}^k$$

$$r_k \perp AV_k$$

Espace de Krylov

Condition d'espace

Condition de Galerkin

$$r_k = r_0 - AV_k y = V_{k+1}(\beta e_1 - \bar{H}_k y) \quad \bar{H}_k = \begin{pmatrix} H_k \\ h_{k+1,k} e_k^T \end{pmatrix}$$

$$(AV_k)^T r_k = \bar{H}_k^T (\beta e_1 - \bar{H}_k y)$$

$$\text{Résoudre } \min_{y \in \mathbb{R}^k} \|\beta e_1 - \bar{H}_k y\|_2$$

Condition de Galerkin

# GMRES - Convergence

---

## Méthode polynomiale

$$\begin{aligned}x_k &= x_0 + Q_{k-1}(A)r_0 \\r_k &= (I - AQ_{k-1}(A))r_0 = P_k(A)r_0 \text{ avec } P_k(0) = 1\end{aligned}$$

## Propriété minmax

**SI**  $A = U\Delta U^{-1}$  avec  $\Delta = \text{diag}(\lambda_1, \dots, \lambda_n)$

$$\|r_k\|_2 \leq \|r_0\|_2 \kappa(U) \min_{\{P/\deg(P)=k, P(0)=1\}} \max_{1 \leq j \leq n} |P(\lambda_j)|$$

# GMRES - redémarrage

---

## Complexité et stockage

$k$  itérations

Arnoldi :  $O(k \times nz) + O(k^2 \times n)$  opérations

Moindres carrés négligeable

Stockage de  $k + 3$  vecteurs de longueur  $n$

## Redémarrage : GMRES( $k$ )

### Initialisation

choix de  $x_0$

**Jusqu'à** convergence

$k$  itérations de GMRES

$$x_k = x_0 + V_k y$$

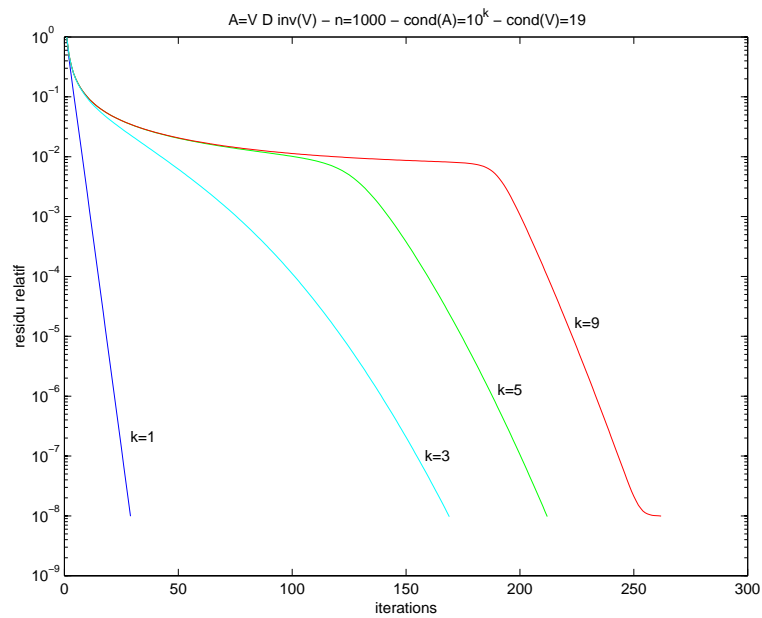
$$x_0 = x_k$$

**Fin Jusque**

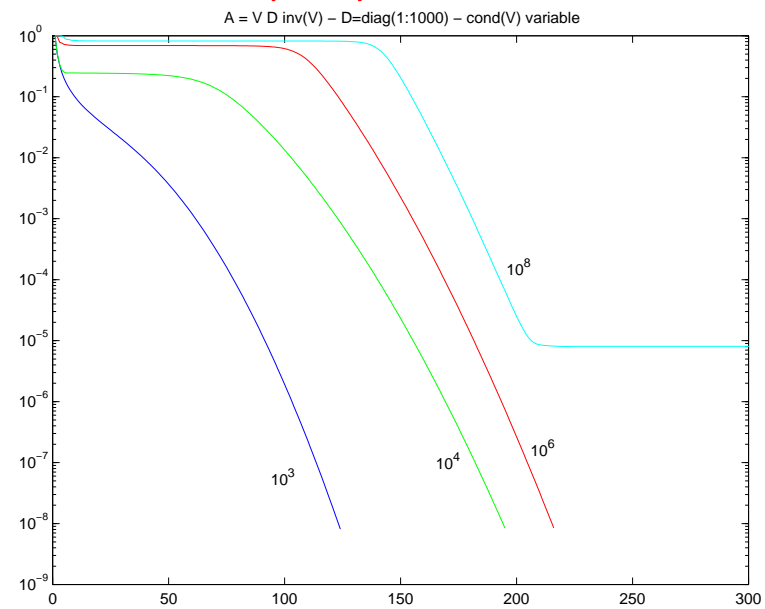
Risque de **stagnation**

# GMRES - convergence

## Valeurs propres variables



## Vecteurs propres variables



# GMRES - algorithme

---

Arnoldi

Rotations de Givens pour les moindres carrés

Redémarrage

# GMRES - dépendances

---

dépendances dans Arnoldi  
produit matrice creuse-vecteur  
moindres carrés séquentiel

# Arnoldi parallèle

---

découpler calcul de la base et orthogonalisation

# Comparaison

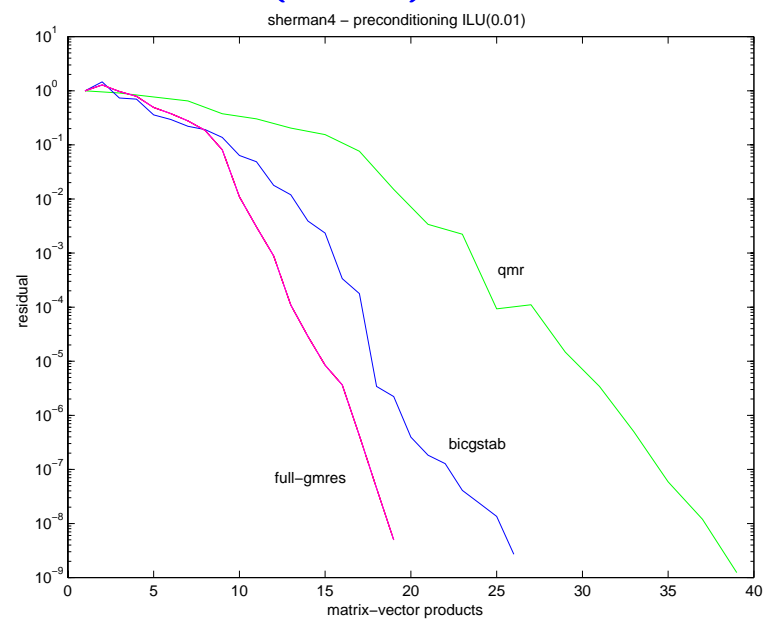
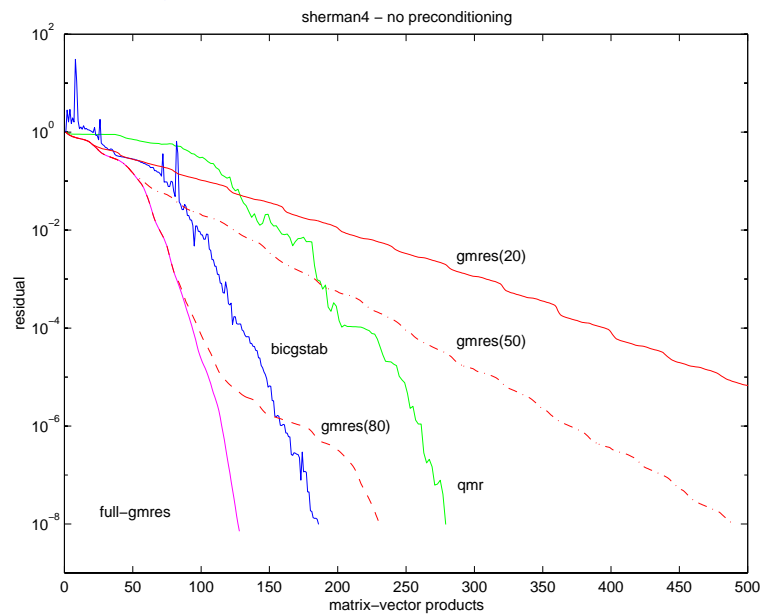
---

matrices Harwell-Boeing  
matrix market



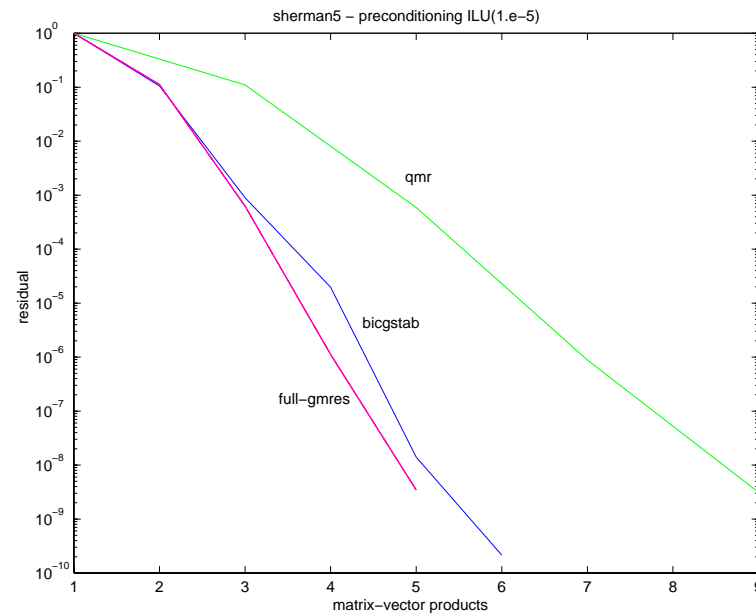
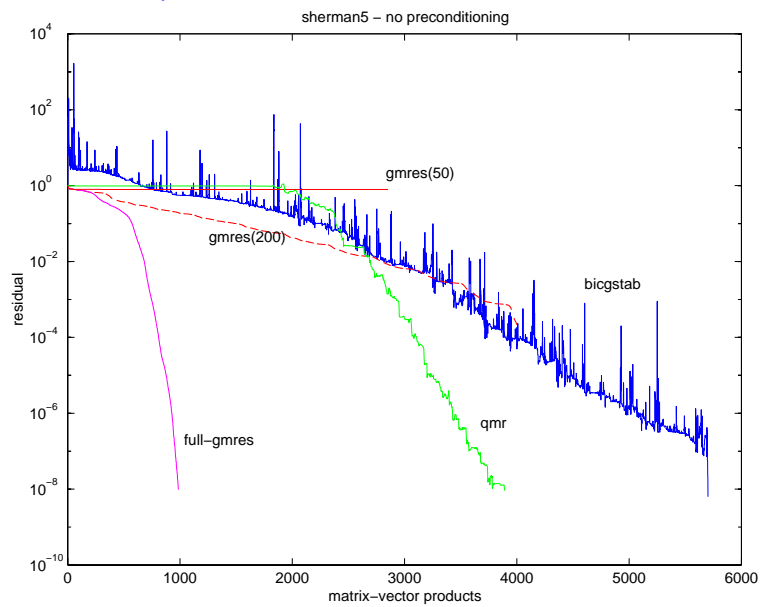
# Comparaison - exemple

Matrice Sherman4 -  $n=1104$  -  $nz=3786$  - collection Boeing-Harwell  
Sans préconditionnement Avec ILU(0.01)



# Comparaison - exemple

Matrice Sherman5 -  $n=3312$  -  $nz=20793$  - collection Boeing-Harwell  
Sans préconditionnement Avec ILU(0.01)



# Préconditionnements

---

- Jacobi et SSOR
- Factorisations incomplètes
- Méthodes de Schwarz
- Méthodes hiérarchiques

# Préconditionnements de Jacobi et SSOR

---

décomposition  $A = D + L + U$ ,

$D$  diagonale,  $L$  triangulaire inférieure,  $U$  triangulaire supérieure

## Jacobi

$M = D$  : parallèle mais peu efficace

## SSOR

$M = (D + L)D^{-1}(D + U)$  : plus efficace mais séquentiel

Si  $A$  est symétrique définie positive,  $M$  l'est aussi

## Versions par blocs

$D, L, U$  matrices diagonale et triangulaires par blocs  
plus efficace

# Préconditionnements par factorisation incomplète

---

$$A = LU + R$$

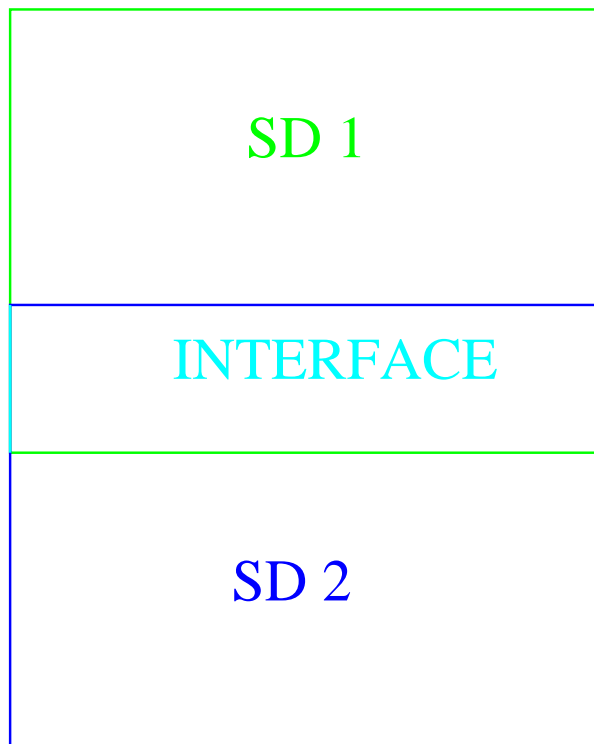
différentes stratégies pour le choix de  $R$

ILU(0) : pas de remplissage

# Préconditionnements de Schwarz

---

Partition du domaine ou du graphe de  $A$  en sous-domaines avec recouvrement



$p$  sous-domaines  $\Omega_i$

$R_i$  restriction de  $\Omega$  dans  $\Omega_i$

$R_i^T$  extension de  $\Omega_i$  dans  $\Omega$

$A$  dans  $\Omega_i$  :  $A_i = R_i^T A R_i$

$M_i$  préconditionnement de  $A_i$

# Préconditionnement de Schwarz multiplicatif

---

résolution de  $Mz = r$

Algorithme

$$r_1 = R_1 r$$

$$M_1 z_1 = r_1$$

$$z^{(1)} = R_1^T z_1$$

$$t = Az^{(1)}$$

$$t_2 = R_2 t$$

$$r_2 = R_2 r$$

$$M_2 z_2 = r_2 - t_2$$

$$z^{(2)} = R_2^T z_2$$

$$z = z^{(1)} + z^{(2)}$$

Dépendances de données

$t_2 \neq 0$  si les deux sous-domaines se recouvrent  
sous-domaine 2 après sous-domaine 1

addition globale dans  $z$

$$M = R_1^T M_1 R_1 + R_2^T M_2 R_2 (I - AR_1^T M_1 R_1)$$

# Préconditionnement de Schwarz additif

---

résolution de  $Mz = r$

Algorithme

$$r_1 = R_1 r$$

$$M_1 z_1 = r_1$$

$$z^{(1)} = R_1^T z_1$$

$$r_2 = R_2 r$$

$$M_2 z_2 = r_2$$

$$z^{(2)} = R_2^T z_2$$

$$z = z^{(1)} + z^{(2)}$$

Dépendances de données

sous-domaine 2 en même  
temps que sous-domaine 1

addition globale dans  $z$

$$M = R_1^T M_1 R_1 + R_2^T M_2 R_2$$



# Correction par une grille grossière

---

$\Omega_0$  ensemble des interfaces entre les sous-domaines

$R_0$  restriction et  $R_0^T$  extension

$A_0 = R_0^T A R_0$  et  $M_0$  préconditionnement

correction  $R_0^T M_0 R_0$

$M = R_1^T M_1 R_1 + R_2^T M_2 R_2 + R_0^T M_0 R_0$

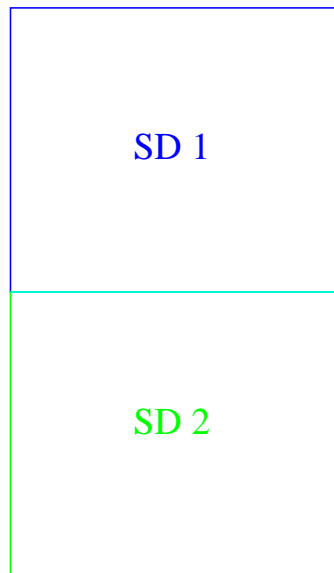
correction effectuée en séquentiel

Nombre d'itérations indépendant du nombre de sous-domaines

# Méthode de sous-domaines

---

Partition du domaine ou du graphe de  $A$  en sous-domaines



$$A = \begin{pmatrix} A_{11} & 0 & A_{13} \\ 0 & A_{22} & A_{23} \\ A_{31} & A_{32} & A_{33} \end{pmatrix}$$

$$\begin{cases} A_{11}x_1 = b_1 - A_{13}x_3 \\ A_{22}x_2 = b_2 - A_{23}x_3 \\ A_{33}x_3 = b_3 - A_{31}x_1 - A_{32}x_2 \end{cases}$$

# Complément de Schur

---

Élimination de  $x_1$  et de  $x_2$  dans l'équation avec  $x_3$

$$\begin{cases} x_1 = A_{11}^{-1}(b_1 - A_{13}x_3) \\ x_2 = A_{22}^{-1}(b_2 - A_{23}x_3) \\ (A_{33} - A_{31}A_{11}^{-1}A_{13} - A_{32}A_{22}^{-1}A_{23})x_3 = b_3 - A_{31}A_{11}^{-1}b_1 - A_{32}A_{22}^{-1}b_2 \end{cases}$$

Distribution du complément de Schur

$$\begin{aligned} A_{33} &= A_{33}^{(1)} + A_{33}^{(2)} & b_3 &= b_3^{(1)} + b_3^{(2)} \\ S^{(1)} &= A_{33}^{(1)} - A_{31}A_{11}^{-1}A_{13} & c^{(1)} &= b_3^{(1)} - A_{31}A_{11}^{-1}b_1 \\ S^{(2)} &= A_{33}^{(2)} - A_{32}A_{22}^{-1}A_{23} & c^{(2)} &= b_3^{(2)} - A_{32}A_{22}^{-1}b_2 \\ S &= S^{(1)} + S^{(2)} & c &= c^{(1)} + c^{(2)} \end{aligned}$$

Systeme sur l'interface:  $Sx = c$

# Complément de Schur et Gradient Conjugué

---

Si  $A$  est symétrique définie positive, alors  $S$  l'est aussi.

Méthode du Gradient Conjugué pour résoudre  $Sx = c$

A l'initialisation, calcul du second membre  $c$

A chaque itération, produit matrice vecteur  $y = Sx$

Préconditionnement  $Mz = y$

Opérations vectorielles

Parallélisme sur chaque sous-domaine

Communications avec l'interface

# Produit complément de Schur par vecteur

---

Complément de Schur

$$y = Sx = S^{(1)}x + S^{(2)}x$$

Produit  $y^{(1)} = S^{(1)}x$

$$y = S^{(1)}x \Leftrightarrow \begin{pmatrix} 0 \\ y \end{pmatrix} = \begin{pmatrix} A_{11} & A_{13} \\ A_{31} & A_{33}^{(1)} \end{pmatrix} \begin{pmatrix} x_1 \\ x \end{pmatrix}$$

Interprétation : problème de Dirichlet

Problème de Dirichlet sur chaque sous-domaine avec solution  $x$  fixée sur l'interface.

Calcul de la dérivée  $y$  de  $x$  sur l'interface.

# Produit parallèle complément de Schur par vecteur

---

## Sous-domaine 1

Recevoir  $x$   
Calculer  $y^{(1)} = S^{(1)}x$   
Envoyer  $y^{(1)}$

## Interface

Envoyer  $x$

## Sous-domaine 2

Recevoir  $x$   
Calculer  $y^{(2)} = S^{(2)}x$   
Envoyer  $y^{(2)}$

Recevoir  $y^{(1)}$  et  $y^{(2)}$   
 $y = Sx = y^{(1)} + y^{(2)}$

# Préconditionnement du complément de Schur

---

Préconditionnement dit de Neumann

$$S = S^{(1)} + S^{(2)} \text{ d'où } S^{-1} \simeq S^{(1)-1} + S^{(2)-1}$$
$$M = S^{(1)-1} + S^{(2)-1}$$

Résolution de  $S^{(1)}x = y$

$$S^{(1)}x = y \Leftrightarrow \begin{pmatrix} A_{11} & A_{13} \\ A_{31} & A_{33}^{(1)} \end{pmatrix} \begin{pmatrix} x_1 \\ x \end{pmatrix} = \begin{pmatrix} 0 \\ y \end{pmatrix}$$

Interprétation : Problème de Neumann

Problème de Neumann sur chaque sous-domaine avec dérivée  $y$  fixée à l'interface.

Calcul de la solution  $x$  à l'interface.

# Préconditionnement de Neumann parallèle

---

Résoudre  $Mx = y$

Sous-domaine 1

Recevoir  $y$   
Résoudre  $S^{(1)}x^{(1)} = y$   
Envoyer  $x^{(1)}$

Interface  
Envoyer  $y$

Sous-domaine 2

Recevoir  $y$   
Résoudre  $S^{(2)}x^{(2)} = y$   
Envoyer  $x^{(2)}$

Recevoir  $x^{(1)}$  et  $x^{(2)}$   
 $x = x^{(1)} + x^{(2)}$



# Préconditionnement avec correction de grille grossière

---

Le nombre d'itérations du Gradient Conjugué augmente en général avec le conditionnement du système preconditionné.

Le conditionnement du système preconditionné augmente avec le nombre de sous-domaines.

Grâce à une correction de grille grossière, on obtient un système preconditionné avec un conditionnement, donc un nombre d'itérations en général, indépendant du nombre de sous-domaines.

La méthode parallèle passe à l'échelle.

- Logiciels pour les méthodes directes
- Logiciels pour les méthodes itératives
- Bibliographie

- SuperLU : <http://www.cs.berkeley.edu/~demmel/SuperLU.html>  
Auteurs J. Demmel et X. Li
- Matlab
- etc

# Logiciels pour les méthodes itératives

---

- liste : <http://www.netlib.org/utk/papers/iterative-survey/>
- PETSc : <http://www-fp.mcs.anl.gov/petsc/>  
équations aux dérivées partielles,  
systèmes différentiels,  
systèmes non linéaires et linéaires,  
sur machine à mémoire distribuée
- Parpre : <http://www.cs.utk.edu/eijkhout/parpre.html>  
préconditionnements parallèles pour méthodes itératives  
utilise Petsc, partie du projet Scalapack, auteurs V. Eijkhout et T. Chan
- Psparslib : [http://www.cs.umn.edu/Research/arpa/p\\_sparslib/psp-abs.html](http://www.cs.umn.edu/Research/arpa/p_sparslib/psp-abs.html)  
méthodes itératives parallèles, auteurs Y. Saad et al.
- Matlab
- etc

# Bibliographie

---

- Y. Saad, Iterative methods for sparse linear systems, PWS Publishing Company, 1996  
<http://www-users.cs.umn.edu/saad/books.html>
- G. Meurant, Computer solution of large linear systems, North Holland, 1999  
<http://perso.wanadoo.fr/gerard.meurant/#GACC>
- Templates for the Solution of Linear Systems: Building Blocks for Iterative Methods, 2nd Edition, R. Barrett et al., SIAM, 1994  
<http://www.netlib.org/templates/index.html>
- etc